

## ОЦЕНКА НЕФТЕГАЗОНОСНОСТИ ПЕРСПЕКТИВНЫХ ОБЪЕКТОВ В АКВАТОРИЯХ БАРЕНЦЕВА МОРЯ

Анализируются результаты оценки перспектив нефтегазоносности отдельных месторождений и структур Баренцева моря, полученные частотно-резонансным методом обработки и интерпретации данных дистанционного зондирования Земли (ДЗЗ).

**Ключевые слова:** Баренцево море, нефть, газ, месторождение, спутниковые данные, технология, прямые поиски, обработка, интерпретация.

### *Введение*

В последнее время существенно повысился интерес к поискам скоплений углеводородов (УВ) в Баренцевом море. Это обусловлено открытием трех месторождений в норвежском секторе – Skrugard, Havis и Norgvarg. Подтверждением этого интереса можно считать также подписанные в 2012 г. НК „Роснефть” соглашения о стратегическом партнерстве с известными нефтяными компаниями ExxonMobil, Statoil и Eni с целью освоения ресурсов Баренцева, Карского и Черного морей.

Однако, материальные, финансовые и временные затраты на поисково-разведочные работы, бурение и добычу УВ на шельфе существенно возрастают по сравнению с аналогичными работами на суше. Еще более крупные ресурсы необходимы на освоение арктических и антарктических районов.

В связи с этим для повышения эффективности морских нефтегазопоисковых исследований дополнительно к сейсмическим привлекаются современные электромагнитные методы. Наиболее активно используется электромагнитная технология Seabed Logging (controlled-source electromagnetic (CSEM)) компании EMGS [Gabrielsen et al., 2013; Feather, 2007].

В [Gabrielsen et al., 2013] приводятся результаты применения 3D-модификации CSEM-технологии совместно с материалами 2D-сейсмики в Баренцевом море, в районе расположения месторождений Skrugard и Havis (рис. 1). В статье показано, что совместное использование 3D CSEM и 2D сейсмических данных улучшает выявление перспективных объектов. Описывается граф обработки данных CSEM, позволяющий определять новый атрибут электромагнитных данных – аномальное вертикальное сопротивление.

Работоспособность графа обработки данных CSEM демонстрируется на данных измерений в районе месторождений Skrugard и Havis (рис. 1). Оба месторождения проявились на картах CSEM. Выявлен также новый перспективный объект Lead1 недалеко от пробуренной сухой скважины 7219/9-1 (рис. 1). Выполнена также оценка ресурсов УВ как для месторождений Skrugard и Havis, так и для вновь выявленного объекта Lead1 [Gabrielsen et al., 2013].

В 2010 г. авторы начали апробацию мобильной технологии частотно-резонансной обработки дан-

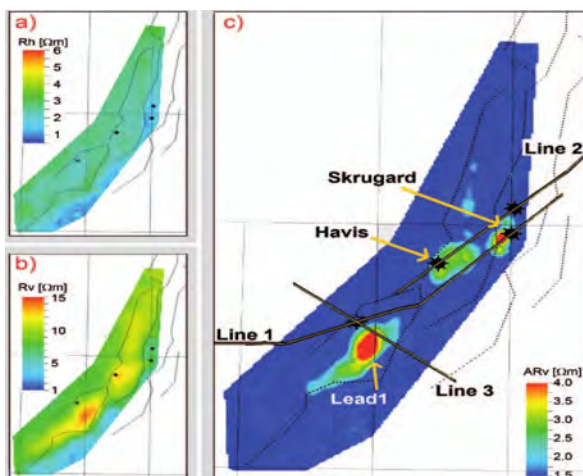
ных дистанционного зондирования Земли (ДЗЗ) с целью „прямых” поисков горючих и рудных полезных ископаемых [Левашов и др., 2010; 2011; 2013]. Этот метод позволяет обнаруживать и картировать аномальные зоны типа „залежь нефти”, „залежь газа”, „залежь газогидратов”, и т.д. Дополнительно, в его рамках реализована методика предварительной оценки пластовых давлений в нефтегазовых коллекторах [Левашов и др., 2011]. В [Левашов и др., 2013] анализируются результаты применения этой технологии для оценки перспектив нефтегазоносности ряда структур в Баренцевом море. Статья [Gabrielsen et al., 2013] – один из поводов дополнительной апробации технологии.

### *Обработка данных ДЗЗ в районе месторождений Skrugard и Havis*

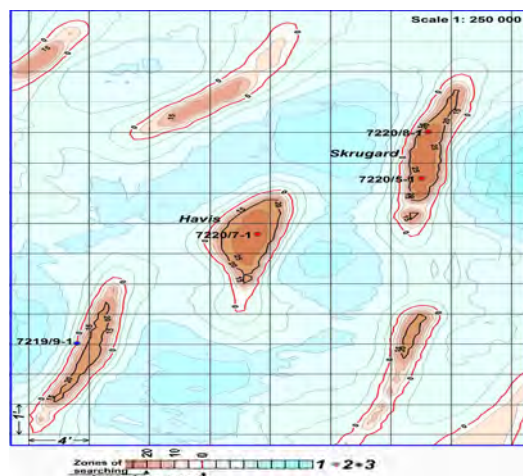
Снимок участка обследования подготовлен для обработки в масштабе 1:250000 (рис. 2). В его пределы попали сами месторождения, три продуктивные скважины в их контурах, сухая скважина 7219/9-1, а также новый перспективный объект Lead1 (рис. 2).

В результате проведенной обработки в пределах обследованного участка обнаружено семь аномалий типа „нефтегазовая залежь”. Две аномальных зоны зафиксировано в пределах месторождений Skrugard и Havis. При этом продуктивные скважины попадают здесь в контуры максимальных значений пластового давления, равные 25 МПа. Третья аномалия закартирована в районе перспективного объекта Lead1. Расположенная здесь сухая скважина попадает в контуры изолинии 0 МПа. В пределах этой аномальной зоны имеется узкая область с относительно высокими значениями пластового давления (20 МПа), что позволяет считать ее перспективной на получение промышленных притоков УВ. В южной части участка обнаружена еще одна аномальная зона, в пределах которой также имеется участок повышенных значений давления (20 МПа).

Две аномальные зоны зафиксированы в северной части участка обследования с максимальными значениями давления 15 МПа. Седьмая аномальная зона с максимальным значением давления 5 МПа выявлена в правом нижнем углу участка работ.

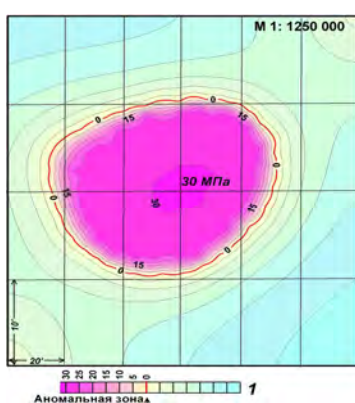


**Рис. 1.** Усредненные карты аномалий CSEM, построенное по результатам решения обратной 3D задачи без ограничений: (а) горизонтальное сопротивление,  $R_h$ ; (б) вертикальное сопротивление,  $R_v$ ; (в) аномальное вертикальное сопротивление,  $AR_v$  [Gabrielsen et al., 2013].

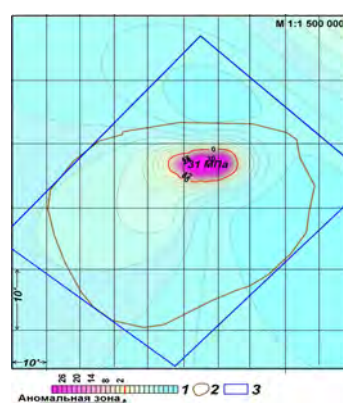


**Рис. 2.** Карта аномальных зон типа „нефтегазовая залежь” в районе расположения месторождений Skrugard и Havis на шельфе Норвегии в Баренцевом море (по результатам частотно-резонансной обработки и интерпретации данных ДЗЗ)

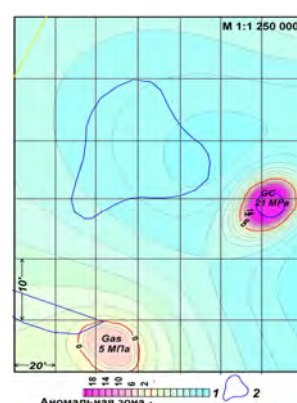
1 – шкала максимальных значений пластового давления в коллекторах, МПа; 2 – продуктивные скважины; 3 – сухая скважина



**Рис. 3.** Карта аномальной зоны типа „газоконденсатная залежь” на площади Штокмановского ГКМ 1 – шкала максимальных значений пластового давления, МПа. Площадь аномалии: по изолинии 0–1240 км<sup>2</sup>; по изолинии 25–799 км<sup>2</sup>; площадь структуры на обзорной карте – 903 км<sup>2</sup>.



**Рис. 4.** Карта аномалий типа „газоконденсатная залежь” на Пахтусовском участке 1 – шкала максимальных значений пластового давления, МПа; 2 – контуры структуры; 3 – контур участка. Площадь аномалии: по изолинии 0–130 км<sup>2</sup>; 20–60 км<sup>2</sup>.



**Рис. 5.** Карта аномалий типа „газоконденсатная залежь” в районе структур Центральная, Южная (справа) и Кольская (внизу) на Федынском участке 1 – шкала максимальных значений пластового давления, МПа; 2 – контуры структур.

#### Другие участки изучения в Баренцевом море

В Арктическом регионе обработаны данные ДЗЗ в пределах Пахтусовской структуры, а также Центральной, Южной и Кольской структур (свод Федынского). Дополнительно, выполнена обработка данных ДЗЗ района Штокманского газоконденсатного месторождения (рис. 3) с целью подбора оптимальных параметров дешифрирования. Площади обработки: район Штокманского месторождения – 10000 км<sup>2</sup>; Пахтусовская структура – 13000 км<sup>2</sup>; Федынский участок – 10000 км<sup>2</sup>.

Координаты участков и структур взяты из обзорной карты Баренцева моря. Фрагменты результатов обработки (рис. 3-5) по площади существенно меньше подготовленных данных ДЗЗ.

Масштаб обработки данных ДЗЗ Штокманского месторождения – 1:1250000. На участке закартирована крупная аномалия типа „газоконденсатная залежь” (рис. 3), которая полностью покрывает контур месторождения. В ее пределах максимальное значение пластового давления – 30 МПа.

Масштаб обробки даних ДЗЗ Пахтусовської структури – 1:1500000. Зде обнаружена тільки одна аномальна зона типу „газоконденсатна залежь” небольших розмірів (по відношенню до площа структури) (рис. 4). Максимальне значення пластового тиску – 31 МПа.

Масштаб обробки даних ДЗЗ на Фединському об'єкті – 1:1250000. В пределах структури Центральна аномалія типу „залеж УВ” не обнаружено (рис. 5). В пределах структури Южна закартирована аномалія типу „газоконденсатна залеж”, площа якої більше площа контура структури на обзорній карті. У юго-східній оконечності Кольської структури закартирована аномалія типу „газоконденсатна залеж” (рис. 5). Однак, максимальне значення пластового тиску в пределах цієї аномальної зони – всього 5 МПа. Площа аномалії на Южній структурі по ізолінії 0-189 км<sup>2</sup>; по ізолінії 20-80 км<sup>2</sup>; в районі Кольської – 0-210 км<sup>2</sup>.

### **Выводы**

1. Виконані дослідження демонструють роботоспроможність частотно-резонансної технології обробки даних ДЗЗ в арктичному регіоні, а також свідчать про целесообразність її застосування при проведенні поискових робіт на нафту та газ.

2. Для району місцероджень Skrugard та Havis отримана нова, головна, незалежна інформація про перспективи його нефтегазоносності. Відмінно від сейсмічних та геоелектрических даних її можна класифікувати як „прямий підтвердження нефтегазоносності”. Ця інформація може бути використована для локалізації ділянок проведення детальних робіт, а також для вибору оптимальних місць розташування свердловин.

3. Учитувайши, що часові та матеріальні затрати на обробку даних ДЗЗ несопоставими з затратами на проведення сейсмічних та геоелектрических дослідження, то широке

використання цієї технології в комплексі з традиційними геофізическими методами може сприяти підвищенню ефективності та оптимізації у цілому геологорозвідувального процесу на нафту та газ в арктичному регіоні.

4. Крупна аномалія над Штокмановським місцеродженням дозволяє констатувати, що гігантські та унікальні місцероджень УВ в арктичному регіоні (в разі їх наявності) можуть бути обнаружено мобільним методом.

5. В пределах трьох площа (рис. 3-5) не обнаружено аномальні зони типу „залеж нефти”.

### **Література**

Левашов С.П., Якимчук Н.А., Корчагін И.Н. Но-вые возможности оперативной оценки перспектив нефтегазоносности разведочных площа-дей, труднодоступных и удаленных терито-рий, лицензионных блоков // Геоинформатика. – 2010. – № 3. – С. 22-43.

Левашов С.П., Якимчук Н.А., Корчагін И.Н. Оце-нка относительных значений пластового давле-ния флюидов в коллекторах: результаты прове-денных экспериментов и перспективы прак-тического применения // Геоинформатика. – 2011. – № 2. – С. 19-35.

Левашов С.П., Якимчук Н.А., Корчагін И.Н. Оценка перспектив нефтегазоносности отдель-ных структур Баренцева моря частотно-резонансным методом обробки даних дистан-ціонного зондирования Землі // Геоинформатика. – 2013. – № 1. – С. 0-00.

Gabrielsen P.T., Abrahamson P., Panzner M., Fanavoll S. and Ellingsrud S. [2013] Exploring frontier areas using 2D seismic and 3D CSEM data, as exemplified by multi-client data over the Skrugard and Havis discoveries in the Barents Sea. First Break, – V. 31, #1, – P. 63-71.

Feather K. The rapid adoption of seabed logging / Ken Feather // Scandinavian Oil and Gas Magazine. – 2007. #5/6. – P. 37-38.

## **ОЦІНКА НАФТОГАЗОНОСНОСТІ ПЕРСПЕКТИВНИХ ОБ’ЄКТІВ В АКВАТОРІЯХ БАРЕНЦОВОГО МОРЯ**

**С.П. Левашов, М.А. Якимчук, І.М. Корчагін, Д.М. Божежа**

Аналізуються результати оцінки перспектив нафтогазоносності окремих структур та родовищ Баренцевого моря, які були отримані частотно-резонансним методом обробки та інтерпретації даних дистанційного зондування Землі (ДЗЗ).

**Ключові слова:** Баренцеве море, нафта, газ, родовище, технологія, прямі пошуки, обробка.

## **ESTIMATION OF HYDROCARBON POTENTIAL OF THE PERSPECTIVE STRUCTURES IN BARENTS SEA**

**S. Levashov, N. Yakymchuk, I. Korchagin, D. Bozhezha**

The results of estimation of hydrocarbon (HC) potential of some structures and oil- and gas-fields in the Barents Sea are discussed. They were obtained using the mobile technology of frequency-resonance processing and interpretation of remote sensing (RS) data.

**Key words:** Barents Sea, oil, gas, deposit, technology, direct prospecting, processing.

<sup>1</sup>Інститут прикладних проблем екології, геофізики та геохімії, г. Київ

Надійшла 11.07.2013

<sup>2</sup>Інститут геофізики НАН України, г. Київ, Україна